

УДК 597.5

ВТОРАЯ НАХОДКА РЕДКОГО ВИДА *PLECTRANTHIAS KLAUSEWITZI* (SERRANIDAE) ИЗ КРАСНОГО МОРЯ

© 2021 г. А. М. Прокофьев^{1, 2, *}

¹Институт проблем экологии и эволюции РАН – ИПЭЭ РАН, Москва, Россия

²Институт океанологии РАН – ИО РАН, Москва, Россия

*E-mail: prokartster@gmail.com

Поступила в редакцию 27.05.2020 г.

После доработки 06.07.2020 г.

Принята к публикации 07.07.2020 г.

Сообщается о второй поимке редкого вида *Plectranthias klausewitzii*, ранее известного по единственному нахождению в Баб-эль-Мандебском проливе. Новый экземпляр пойман севернее типового местонахождения, непосредственно в акватории Красного моря. Вид является эндемиком южной части Красного моря. Приведено детальное иллюстрированное описание нового экземпляра, расширены пределы изменчивости некоторых диагностических признаков вида.

Ключевые слова: *Plectranthias klausewitzii*, морфология, новое нахождение, Красное море.

DOI: 10.31857/S0042875221020181

Представители рода *Plectranthias* Bleeker, 1873 являются преимущественно мелкими видами, населяющими коралловые рифы и каменистые грунты часто глубже 50 м, из-за чего большая часть видов остается известной по единичным поимкам и многие из них – по единственному экземпляру (Randall, 1980; Heemstra, Randall, 2009; Wu et al., 2011; Vineesh et al., 2014; Wada et al., 2020). Между тем этот род характеризуется большим разнообразием – к настоящему времени описано 59 видов (Fricke et al., 2020), из которых в западной части Индийского океана (включая Красное море) представлено 14 (Heemstra, Randall, 2009; Vineesh et al., 2014). Из них *P. klausewitzii* до сих пор был известен только по типовой серии, семь экземпляров которой пойманы в Баб-эль-Мандебском проливе у о. Перим (Zajonz, 2006; Heemstra, Randall, 2009).

Разбирая неопределённые коллекции рыб в Институте океанологии РАН (ИО РАН, Москва), я наткнулся на экземпляр *P. klausewitzii*, добытый в 33-м рейсе научно-исследовательского судна (НИС) “Витязь” в южной части Красного моря между побережьем Эритреи и архипелагом Ханиш, севернее типового местонахождения. Учитывая редкость и недостаточную морфологическую изученность данного вида, в настоящем сообщении приводится описание этой находки.

МАТЕРИАЛ И МЕТОДИКА

Этикеточные данные экземпляра приведены при его описании. Методика изучения соответ-

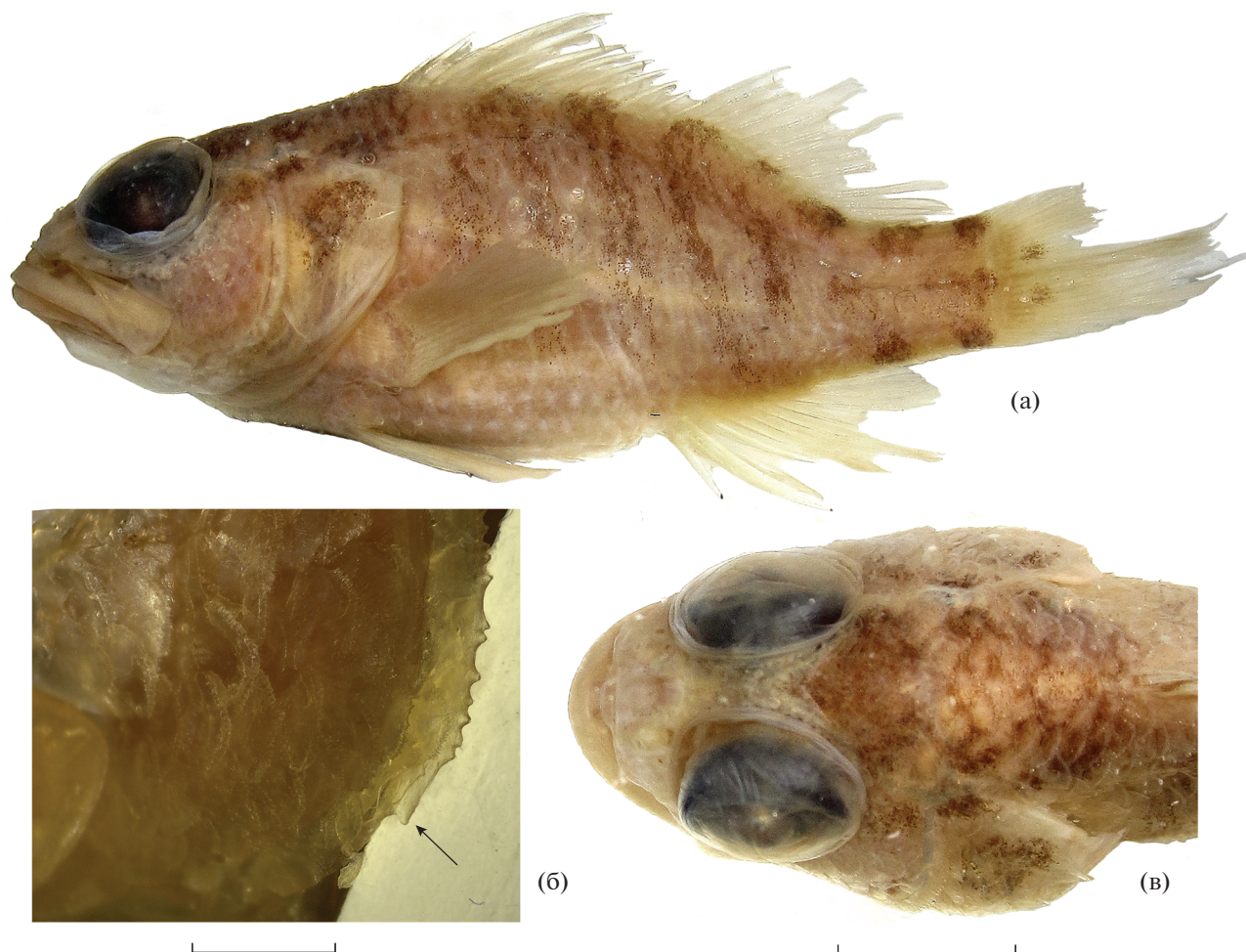
ствует общепринятой (Randall, 1980; Heemstra, Randall, 2009). Последний, разделённый до основания луч в вертикальных плавниках подсчитывался как $1\frac{1}{2}$, мелкие чешуи у основания вертикальных плавников считались за $\frac{1}{2}$. В работе использованы следующие сокращения: *SL* – стандартная длина; *D*, *A*, *P*, *V*, *C* – соответственно спинной, анальный, грудные, брюшные и хвостовой плавники; *LL* – туловищный канал боковой линии; *r. br*, *sp. br* – соответственно число жаберных лучей и тычинок в наружном ряду на первой дуге; ст. – океанографическая станция.

РЕЗУЛЬТАТЫ И ОБСУЖДЕНИЕ

Plectranthias klausewitzii Zajonz, 2006
(рисунок)

Материал. ИО РАН № 3623, *SL* 41 мм (рисунок, а), $13^{\circ}41'$ с. ш., $42^{\circ}32'$ в. д., НИС “Витязь”, рейс 33, ст. 4782, проба 17, дночерпатель, глубина 130 м.

Описание. *D* $X + 14\frac{1}{2}$, *A* $III + 7\frac{1}{2}$, *P* 15, *VI* + 5, ветвистых лучей *C* $8 + 7$; *LL* 29; чешуй вокруг хвостового стебля 14, между боковой линией и началом *D* и *A* соответственно $2\frac{1}{2}$ и 10, в предоральной области между задним краем невротраниума и началом *D* 9 (последняя уменьшена), рядов чешуй на щеке 5; *r. br* 7, *sp. br* $4 + 1 + 9 = 14$, из них верхние три на ериbranchiale и нижние четыре на сегatobranchiale бугорковидные; последняя эпиганхимальная тычинка очень короткая, в 1.5 раза короче угловой, которая в свою очередь в 1.5 раза короче



Plecثرanthias klausewitzi, ИО РАН № 3623, *SL* 41 мм: а – общий вид, б – угловая часть ргаеорескулум ((→) – направленный вниз шип), в – голова и предоресальная область сверху. Масштаб, мм: б – 1.5, в – 5.5.

двух последующих (наибольших) жаберных тычинок; наибольшие жаберные тычинки примерно в 1.5 раза короче жаберных лепестков. Ложножабра крупная, из 12 элементов.

Тело умеренно высокое, его максимальная высота, приходящаяся на середину основания колючей части *D*, составляет 2.65 раза в *SL*. Дорсальный контур тела перед началом *D* выпуклый. Голова 2.5 раза в *SL*. Рыло в профиль закруглено. Глаз крупный, его горизонтальный диаметр в 1.8 раза превышает длину рыла, втрое меньше длины головы. Челюсти равной длины, верхняя оканчивается на вертикали заднего края зрачка; верхнезадний угол пластинки *maxillare* закруглен, задний край прямой. Передняя ноздря открывается короткой трубкой с лепестковидным клапаном на заднем крае, задняя – округлым отверстием. На ргаеахиллаге полоска из мелких конических зубов, расширенная к симфизу, близ которого зубы крупнее, имеется по небольшому клыковидному зубу с каждой стороны. На *dentale* полоска из

мелких конических зубов, расширенная у симфиза, небольшой клык близ середины длины озубленной части кости, за которым мелкие конические зубы расположены в один ряд. На сошнике узкая V-образная полоска мелких зубов, имеется полоска мелких зубов на *palatinum*. Язык сужен к вершине, без зубов. Направленные вперед шипы на вентральной ветви ргаеорескулум не развиты, имеется лишь небольшой, направленный вниз шип перед угловой частью кости (рисунок, б); дорсальная ветвь несет 28 мелких шипиков по заднему краю. Орескулум с тремя шипами, из которых средний – наибольший, верхний шип слабо развит.

Начало *D* расположено на уровне верхнего края основания *P*, начало *A* – на вертикали третьего ветвистого луча *D*. Колючая часть *D* отделена от мягкой глубокой выемкой, третий и четвертый колючие лучи наибольшие, равной длины, 2.35 раза в длине головы. Колючие лучи *D* несут на вершинах очень короткие выросты межлучевой

перепонки. Второй колючий луч *A* гораздо длиннее и толще остальных. Наибольшие ветвистые лучи *D* и *A* равны по длине наибольшим колючим лучам этих плавников. Последний ветвистый луч в *D* и *A* разделён до основания. *P* достигают своими концами вертикали первого ветвистого луча *A*, их наибольший луч — десятый. Первый луч *P* укороченный, жёсткий, неветвистый, последующие лучи ветвистые, но нижние восемь утолщены и подразделены только у самых кончиков. *V* прикрепляются впереди вертикали основания *P*, их второй ветвистый луч наибольший, не достигает ануса. Лучи верхней лопасти *C* частично обломаны, задний край этого плавника был, по-видимому, слабо закружённым. Анус расположен у начала *A*.

Чешуя на голове и теле ктеноидная, дополнительные чешуйки в основаниях чешуй отсутствуют; чешуя заходит только на самое основание мягких частей *D* и *A*, на основание *P* примерно на 1/4 его длины, но на основание *C* почти на половину его длины. Межглазничный промежуток покрыт чешуёй, которая впереди оканчивается на вертикали середины длины промежутка между передним краем глаза и передним краем зрачка, немного не доходя до уровня задней ноздри. Рыло, инфраорбитальные кости до вертикали середины орбиты; maxillare, ветви нижней челюсти, гулярная область и жаберная перепонка не покрыты чешуёй. Боковая линия полная, образует резкий изгиб кверху под основанием *D*, на хвостовом стебле идёт по его середине.

Некоторые измерения, в % *SL*: длина и максимальная высота головы соответственно 40.2 и 30.5, максимальная и минимальная высота тела соответственно 37.8 и 13.4, длина хвостового стебля 19.5; длина *P*, *V* и *C* соответственно 29.3, 23.8 и ~25.6; длина колючих лучей *D* с первого по пятый соответственно 4.9, 8.1, 17.1, 17.1 и 14.6; длина колючих лучей *A* с первого по третий соответственно 8.5, 17.1 и 12.2; длина наибольшего мягкого луча *D* и *A* 17.1, предорсальное расстояние и расстояние до начала мягкой части *D* соответственно 41.5 и 63.4, превентральное и преанальное расстояния соответственно 34.2 и 65.9, длина рыла 7.3, горизонтальный диаметр глаза 13.4, ширина межглазничного промежутка 4.3, длина верхней челюсти 19.5.

В % длины головы: длина рыла 18.2, горизонтальный диаметр глаза 33.3, ширина межглазничного промежутка 10.6, длина верхней челюсти 48.5.

Окраска фиксированной рыбы светлая, на теле имеется восемь косых, наклонённых назад поперечных тёмных полос, из них шесть расположены под основанием *D* и две — на хвостовом стебле. Полосы под основанием *D* спускаются до нижней трети боков, но только две последние из них доходят до вентрального края тела. Шестая полоса формирует более концентрированное скоп-

ление пигмента у конца основания *D* и у вентрального края хвостового стебля позади конца *A*; в средней её части, как и у последующих полос на хвостовом стебле, пигментация резко ослаблена, из-за чего невооружённому глазу пигментация хвостового стебля представляется в виде супротивно лежащих пятен у его дорсального и вентрального краёв (рисунок, а). Имеется косая полоса от заднего края глаза к началу *D*, соединяющаяся с такой же полосой соседней стороны; впереди от неё в предорсальной области и на верхней поверхности головы имеется нерегулярный тёмный рисунок. Верхняя половина жаберной крышки с тёмным пятном (рисунок, в). В основании *C* имеется пара небольших супротивных пятнышек, в остальном плавники не окрашены. Ротожаберная полость и жаберные дуги светлые.

Сравнительные замечания. Признаки описанного экземпляра в целом хорошо согласуются с таковыми у типовой серии вида (Zajonz, 2006; Heemstra, Randall, 2009), за исключением более развитого тёмного рисунка на теле (Zajonz, 2006. Fig. 2; Heemstra, Randall, 2009. Fig. 6), меньшего числа чешуй в поперечном ряду на щеке (5 против 7–8) и несколько большего — вокруг хвостового стебля (14 против 11–13), чуть меньшего числа тычинок в наружном ряду на сегатобранхиале-1 (10 против 11–13) и наличия в угловой части праеорегскулум небольшого, но вполне развитого, направленного вниз шипа (рисунок, б). Из перечисленных отличий наиболее существенным представляется разница в числе рядов чешуй на щеке. Её нельзя объяснить методикой подсчёта, так как чешуи были подсчитаны в полном соответствии с указаниями цитированных авторов. Тёмные полосы на теле у описываемого экземпляра одинаковой ширины со светлыми промежутками, тогда как на рисунках в указанных работах (Zajonz, 2006. Fig. 2; Heemstra, Randall, 2009. Fig. 6) первые явно уже последних. Что касается расхождений в ошиплении праеорегскулум, то его особенности, наблюдаемые у изученного экземпляра, очевидно, представляют индивидуальную вариацию (у рыб типовой серии вентральная ветвь праеорегскулум гладкая или несёт два или три крошечных направленных вперёд шипика). Учитывая соответствие исследованного экземпляра рыбам типовой серии по остальным признакам и его поимку в том же районе, я рассматриваю вышеперечисленные различия как проявления индивидуальной изменчивости, не имеющие таксономической значимости.

В то же время на настоящем уровне знаний нельзя полностью отвергать возможность географической зависимости вышеописанных отличий. Типовое местонахождение вида лежит в Баб-эль-Мандебском проливе, что с большой долей вероятности предполагает его присутствие в Аденском заливе. Новая находка происходит непо-

средственно из акватории Красного моря (в его южной части). Учитывая биологические особенности *Plectranthias*, исключающие возможность миграций (Randall, 1980), и редкость находок особей ранних стадий в планктонных сборах (Kendall, 1979) из-за быстрого оседания личинок на дно, нельзя исключать морфологическую неоднородность красноморских и аденских популяций. Однако для подтверждения этого предположения необходимы поимки новых экземпляров этого редкого вида.

ФИНАНСИРОВАНИЕ РАБОТЫ

Изучение ихтиофауны Мирового океана, морфологии и систематики перкоидных рыб выполнялось в рамках тем государственного задания № 0149–2018–0009 и 0109–2018–0076 соответственно; статья написана при поддержке Российского научного фонда, грант № 19-14-00026.

СПИСОК ЛИТЕРАТУРЫ

- Bineesh K.K., Akhilesh K.V., Gopalakrishnan A., Jena J.K. 2014. *Plectranthias alcocki*, a new anthiine fish species (Perciformes: Serranidae) from the Arabian Sea, off southwest India // *Zootaxa*. V. 3785. № 3. P. 490–496.
- Fricke R., Eschmeyer W.N., van der Laan R. 2020. Catalog of Fishes: Genera, Species, References. (<http://researcharchive.calacademy.org/research/ichthyology/catalog/fishcatmain.asp>. Version 01/2020)
- Heemstra P.C., Randall J.E. 2009. A review of the anthiine fish genus *Plectranthias* (Perciformes: Serranidae) of the western Indian Ocean, with description of a new species, and a key to the species // *Smithiana Bull.* V. 10. P. 3–17.
- Kendall A.W. 1979. Morphological comparisons of North American sea bass larvae (Pisces: Serranidae) // NOAA Techn. Rept. NMFS. Circ. 428. 50 p.
- Randall J.E. 1980. Revision of the fish genus *Plectranthias* (Serranidae: Anthiinae) with descriptions of 13 new species // *Micronesica*. V. 16. № 1. P. 101–187.
- Wada H., Suzuki T., Senou H., Motomura H. 2020. *Plectranthias ryukyuensis*, a new species of perchlet from the Ryukyu Islands, Japan, with a key to the Japanese species of *Plectranthias* (Serranidae: Anthiinae) // *Ichthyol. Res.* V. 67. P. 294–307.
<https://doi.org/10.1007/s10228-019-00725-6>
- Wu K.-Y., Randall J.E., Chen J.-P. 2011. Two new species of anthiine fishes of the genus *Plectranthias* (Perciformes: Serranidae) from Taiwan // *Zool. Stud.* V. 50. № 2. P. 247–253.
- Zajonz U. 2006. *Plectranthias klausewitzi* n. sp. (Teleostei, Perciformes, Serranidae), a new anthiine fish from the deep waters of the southern Red Sea // *Aqua, Inter. J. Ichthyol.* V. 12. № 1. P. 19–26.